

# تهیه‌ی خطوط هم‌شتاب طراحی براساس تحلیل خطر زلزله برای منطقه‌ی حرم مطهر امام رضا (ع)

غلامرضا قدیری امیری (استاد)

سیدعلی رضوان اموزی (دانشجوی دکتری)

دانشکده مهندسی عمران، دانشگاه علم و صنعت ایران

سیدروح‌الله پاشاخانی (کارشناس ارشد)

دانشکده مهندسی زلزله، بروزه‌شکده ساختمان و مسکن

هدف از انجام این تحقیق، تحلیل خطر زلزله و تهیه نقشه‌های هم‌شتاب برای سطوح خطر لرزه‌یی مختلف در حریم حرم مطهر امام رضا (ع) است. از آنجا که ساخت و سازهای حرم مطهر امام رضا (ع) طول عمری بیش از ۵۰ سال دارند و برخی بناها نیاز ارزش و اهمیت تاریخی و مذهبی برخوردارند، به‌منظور طراحی مناسب و بهسازی لرزه‌یی اینهی قدمی و بالریزش، تهیه شتاب طراحی در سطوح خطر لرزه‌یی مختلف مورد نیاز است. از این‌رو با استفاده از منابع مختلف، کاتلرگ داده‌های لرزه‌خیزی در شاعع ۱۵° و ۲۰° کیلومتری منطقه جمع‌آوری و سپس پارامترهای لرزه‌خیزی توسط روش کیکو محاسبه شد. در ادامه، گسل‌های گستره‌ی طرح شناسایی و مدل‌سازی شد و به‌کمک روابط کاهنگی مناسب، با استفاده از نرم‌افزار SEISRISKIII مقادیر شتاب در سطوح خطر مختلف محاسبه و ضرایب درخت منطقی بر آنها اعمال شد. در نهایت نقشه‌های هم‌شتاب حاصل شد.

ghodrati@iust.ac.ir  
ali\_razavian@iust.ac.ir  
s\_pashanejati@yahoo.com

وازگان کلیدی: تحلیل خطر زلزله، پارامترهای لرزه‌خیزی، شتاب افقی، شتاب قائم، مشهد، حرم مطهر امام رضا (ع).

## ۱. مقدمه

در حال حاضر از استاندارد ۲۸۰۰ (ویرایش سوم)<sup>[۱]</sup> به عنوان آئین‌نامه‌ی طراحی ساختمان‌ها در برابر زلزله استفاده می‌شود. هدف آئین‌نامه‌ی مذکور مقاوم‌سازی ساختمان‌ها در برابر زلزله‌های خفیف و متوسط (احتمال ۹۹/۵ درصد وقوع در ۵۰ سال) بدون واردشدن آسیب عمده‌ی سازه‌یی، و در برابر زلزله‌های شدید (احتمال ۱۰ سال) درصد وقوع در ۵۰ سال) بدون فرو ریختن است. بدین‌ترتیب ملاحظه می‌شود که طول عمر سازه‌ها با توجه به سطح عملکرد تعریف شده در بالا ۵۰ سال در نظر گرفته شده و چنانچه ساختمانی با طول عمری بیش از ۵۰ سال و یا سطح عملکردی غیر از سطح عملکرد استاندارد ۲۸۰۰ مد نظر باشد، منطقی است که مطالعات خاص تحلیل خطر زلزله برای آن انجام پذیرد.

از سوی دیگر طبق دستورالعمل بهسازی لرزه‌یی ساختمان‌های موجود<sup>[۲]</sup> و تفسیر این دستورالعمل<sup>[۳]</sup> ساختمان‌ها باید با سطوح خطر دیگری مانند احتمال ۲ درصد وقوع در ۵۰ سال، علاوه بر سطوح خطر موجود در استاندارد ۲۸۰۰، کترل شوند. این در حالی است که شتاب و طیف مورد نظر در این سطوح خطر فقط طی مطالعه‌ی تحلیل خطر خاص در منطقه به دست می‌آید و تنها در این صورت است که شتاب مبنای طرح به درستی محاسبه می‌شود. لذا با توجه به اهمیت تاریخی و مذهبی اماکن مقدسه‌ی حرم مطهر امام رضا (ع) و لزوم بهسازی ساختمان‌های قدیمی، و نیز با ملاحظه داشتن این نکته که ساختمان‌های احداث شده طول عمری بیشتر از ۵۰ سال خواهند داشت، انجام مطالعات تحلیل خطر لرزه‌یی

فلات ایران در محل تلاقی صفحه‌های عربستان (عربستان - آفریقا)، هند (هند - استرالیا) و اوراسیا (آرپا - آسیا) واقع شده است. تلاقی این صفحه‌ها باعث تغییر شکل پوسته‌ی فلات ایران - که در کل ضعیف‌تر از صفحه‌های یادشده است - و احاطه‌ی آن توسط چین‌خوردگی‌ها و رشته‌کوه‌هایی چون زاگرس در غرب، البرز و کپه‌داغ در شمال و شمال‌شرق، کوه‌های شرق ایران در شرق، و مکران در جنوب‌شرق شده است.

ایران به دلیل قرارگرفتن بر روی کمر بند آلب هیمالیا هر ساله با زلزله‌های مخرب در نقاط مختلف آن مواجه است؛ منطقه‌ی شمال‌شرقی ایران - به‌خصوص شهر مقدس مشهد - از این قاعده مستثنی نیست. از مهم‌ترین زلزله‌های رویداده در این منطقه می‌توان به این موارد اشاره کرد:<sup>[۴]</sup>

- زمین لرزه‌های سال ۱۴۰۵ میلادی با بزرگی  $M_s = 7/6$  و شدت  $X = I$  در منطقه‌ی نیشاپور که به‌کلی شهر را ویلان کرده و حدود ۳۰۰۰۰ نفر جان خود را از دست داده‌اند.

- زمین لرزه‌ی سال ۱۶۷۳ میلادی با بزرگی  $M_s = 6/6$  و شدت  $X = VIII^+$  که به ویلنی دوسوم شهر مشهد و نیمی از نیشاپور و فور ریختن گنبد حرم مطهر امام رضا (ع) انجامید.

تاریخ: دریافت ۱۷/۷/۱۳۸۶، داوری ۲۶/۱۰/۱۳۸۶، پذیرش ۱/۲/۱۳۸۷.

جدول ۱. عمق کانونی داده‌های لرزه‌یی در شعاع  $15^{\circ}$  کیلومتری حرم حضرت رضا(ع).

| عمق کانونی                  | درصد موجود در کاتالوگ نهایی |
|-----------------------------|-----------------------------|
| $h < 1^{\circ}$             | % ۲۶                        |
| $1^{\circ} < h < 2^{\circ}$ | % ۱۱/۶                      |
| $2^{\circ} < h < 3^{\circ}$ | % ۱۸/۸                      |
| $h > 3^{\circ}$             | % ۲/۹                       |
| فاقد عمق                    | % ۴۰/۷                      |

قابل توجهی بر نتایج تحلیل خطر نخواهد داشت.<sup>[۱۱]</sup> در جدول ۱ آمار عمق کانونی را به شده توسط پایگاه‌های لرزه‌نگاری در شعاع  $15^{\circ}$  کیلومتری ناحیه‌ی مورد مطالعه ارائه شده است.

### ۳. شناسایی گسل‌های گستره‌ی طرح

چشممه‌های لرزه‌زا عارضه‌هایی هستند که زمین‌لرزه از آنها نشأت می‌گیرد و موج‌های صادره از آن‌ها در تمام جهات در درون زمین پخش می‌شود. گسل‌ها مهم‌ترین چشممه‌های لرزه‌زا در گستره‌ی طرح‌اند.

برای شناسایی گسل‌های گستره‌ی طرح از نقشه‌ی گسل‌های فعال کشور<sup>[۱۲]</sup> استفاده شده است. علاوه‌بر این نقشه‌های با مقیاس ۱:۲۵۰۰۰۰ و ۱:۱۰۰۰۰۰ گستره‌ی مورد مطالعه که توسط سازمان زمین‌شناسی کشور و اداره اکتشاف شرکت نفت تهیه شده است، مورد مطالعه قرار گرفت؛ به منظور بررسی گسل‌های موجود در خارج از ایران نیز از نقشه‌ی ۱:۵۰۰۰۰۰ خاورمیانه که توسط سازمان زمین‌شناسی تهیه شده استفاده شد.

گسل‌هایی که پیشینه‌ی لرزه‌خیزی آنها شناخته شده‌اند، در گستره‌ی طرح عبارت‌اند از (جدول ۲): گسل فشاری کشف‌رود، گسل شاندین، گسل فشاری نیشابور، گسل بینالود، گسل‌های جنوب‌غرب مشهد، گسل چنگل، گسل خاف، گسل تربت‌جام، گسل بالهر، گسل قوچان، گسل ریوند، گسل داغ‌آباد، گسل مهدی‌آباد، گسل کاشمر، گسل بیچوارد، گسل باغان‌گرماب، گسل اسفراین، گسل سبزوار، گسل کپه‌داغ و گسل درونه.

مه‌گسل‌های گستره‌ی مورد بررسی نیز عبارت‌اند از (جدول ۲): گسل فشاری جنوب‌چهاران، گسل جنوب مشهد، گسل توپ، گسل سرخ‌ده، راندگی شمال بوژان، راندگی بوژان، راندگی شمال برف‌ریز، گسل گوجگی، راندگی بینالود، گسل فشاری شمال نیشابور، راندگی موشان، راندگی کالشور، گسل فشاری آبروان، گسل امروداک و گروه گسل‌های برشی دوتایی کپه‌داغ.

### ۴. برآوردهای پارامترهای لرزه‌خیزی

پارامترهای لرزه‌خیزی روابطی هستند که بزرگای زلزله را با فراوانی زلزله‌های رخداده مرتبط می‌سازند؛ این پارامترها به صورت  $\log N = a - bM$  می‌شوند. پارامترهای این رابطه که به رابطه‌ی گوتیرگ ریشت<sup>[۱۲، ۱۳]</sup> معروف است، عبارت‌اند از:  $N$ : فراوانی تجمعی تعداد زمین‌لرزه‌های با بزرگی  $M$  و بزرگ‌تر در یک دوره مشخص؛  $a$ : ضریب لرزه‌خیزی؛  $b$ : بزرگای زلزله.

حریم حرم مطهر امام رضا(ع) ضروری است. مراحل انجام تحلیل خطر عبارت است از:

۱. جمع‌آوری اطلاعات زمین‌شناسی و گسل‌های ساختگاه گستره‌ی طرح و داده‌های لرزه‌خیزی تاریخی و دستگاهی؛
۲. برآوردهای پارامترهای لرزه‌خیزی و دوره‌ی بازگشت بزرگی زمین‌لرزه‌ها؛
۳. انتخاب روابط کاوهندگی مناسب؛
۴. تحلیل خطر زمین‌لرزه با روش قطعی، احتمالاتی و تجزیه و تحلیل درخت منطقی؛

۵. تهیی نشنه‌های همشتاب برای سطح خطر لرزه‌ی مختلف.

با توجه به اهمیت طرح و ساختمان‌های احداث شده، شعاع مطالعه‌ی  $15^{\circ}$  کیلومتر برای انجام این پروژه انتخاب شد.

در استخراج کاتولوگ زلزله و نیز به منظور جمع‌آوری اطلاعات مربوط به زلزله‌های رخداده در ناحیه‌ی مورد مطالعه، از منابع و تحقیقات متفاوتی همچون تحقیقات پژوهشگاه بین‌المللی زلزله‌شناسی و مهندسی زلزله<sup>[۱۴]</sup> (IIEES) و مرکز تحقیقات ساختمان و مسکن<sup>[۱۵]</sup> (BHRC)، و نیز دیگر منابع مکتوب موجود<sup>[۱۶-۱۷]</sup> استفاده شده است.

### ۲. عمق کانونی زلزله‌های منطقه

تخمین صحیح عمق کانونی برای تفسیر خصوصیات تکتونیکی منطقه ضروری است. ویرگی فعالیت لرزه‌یی ایالت کپه‌داغ، نشان‌دهنده‌ی فراوانی نسبی زمین‌لرزه‌های بزرگ با عمق کم است و زمین‌لرزه‌ی قابل اعتماد با عمق متوسط در این ناحیه به ثبت نرسیده است — اگرچه بسیاری از آمار زلزله‌ها نیز فاقد عمق کانونی‌اند یا عمق کانونی ارائه شده‌ی آنها فاقد دقت صحیح است.

مؤسسه‌ی بین‌المللی زلزله و مرکز اطلاعات بین‌المللی زلزله پژوهش‌نامه‌یی را منتشر کردند که عمق کانونی را با استفاده از روش امواج موجی محاسبه می‌کند. استفاده از روش انعکاس امواج موجی و اطلاعات حاصل از لرزه‌نگارها دقت بالایی در حدود  $4^{\circ}$  کیلومتر دارد. در مثالی که با استفاده از این روش حل شد، عمق کانونی زلزله‌ی ۱۳ جولای ۱۹۹۴ در زاگرس معادل  $14^{\circ}$  کیلومتر محاسبه شد؛ این در حالی است که عمق کانونی این زلزله در کاتولوگ  $CMT$  معادل  $49^{\circ}$  کیلومتر، در کاتالوگ  $Engdahl$  معادل  $41^{\circ}$  کیلومتر، در کاتالوگ  $ISC$  معادل  $44^{\circ}$  کیلومتر، و در کاتالوگ  $NEISC$  معادل  $43^{\circ}$  کیلومتر گزارش شده است.<sup>[۱۰]</sup> اگرچه نتایج روش مذکور دقیق به نظر نمی‌رسد، این اختلاف بیشتر از  $4^{\circ}$  کیلومتر نیست و این زلزله کم عمق‌تر از چیزی است که توسط کاتولوگ‌های زلزله ارائه شده است. بینابین توصیه می‌شود که عمق کانونی فقط با روش‌های دقیق نظیر روش انعکاس امواج موجی برای تعیین خطر لرزه‌یی و تفسیر تکتونیکی منطقه استفاده شود.

از طرف دیگر، عمق کانونی برای زلزله‌های ایران بسیار ناقص است. براساس مطالعات زمین‌شناسی، بیشتر زلزله‌ها در کشور کم عمق‌اند و لذا اعداد بیشتر شده در کاتالوگ‌های زلزله‌ی منطقه به عملت بزرگ، غیرمنطقی‌اند. تعیین دقیق عمق کانونی نیازمند حضور شبکه‌یی با دقت بالا در کشور است که برای بسیاری از زلزله‌های رخداده در گذشته، تعیین این موضوع به عملت نبود چنین شبکه‌یی ممکن نبوده است و لذا براساس توصیه‌های زمین‌شناسان، عمق کانونی در حدود  $10^{\circ}$  کیلومتر در نظر گرفته شده است. باید توجه داشت که تغییرات عمق کانونی در حد  $4 \pm 1$  کیلومتر تأثیر

دور و نزدیک گستره‌ی مورد پژوهش گردآوری شد و پس از یکسان‌سازی بزرگ‌های مختلف به واحد  $M_s$ , عملیات حذف پس لرزه‌ها و پیش‌لرزه‌ها انجام شد. در این پژوهش ابتدا با داشتن حدود ۷۰ زلزله با بزرگ‌ای  $mb$  و  $Ms = ۱/۲۱ mb - ۲,۷۸$  یک رابطه‌ی خطی بین این دو بزرگ‌ای به روش حداقل مربعات به صورت:  $Ms = ۱/۲۱ mb - ۲,۷۸$  به دست آمد. بدلیل این که در محاسبه‌ی این رابطه تعداد زلزله‌های بزرگ‌تر از بزرگ‌ای ۷ بسیار کم بود، این رابطه برای زلزله‌های بزرگ‌تر از ۷ نتایج خوبی نمی‌دهد. برای زلزله‌های کوچک‌تر از بزرگ‌ای ۷ با توجه به این که رابطه‌ی فوق استفاده شد و برای نکوتونیک منطقه‌ی مناسب‌تر تشخیص داده شد، از رابطه‌ی فوق استفاده شد و برای زلزله‌های بزرگ‌تر از بزرگ‌ای ۷ از رابطه‌ی ارائه‌شده توسعه کمیته‌ی ملی سدهای ایران<sup>[۱۵]</sup> به صورت:  $Ms = ۱/۲۱ mb - ۱,۲۹$  استفاده شد.

جدول ۲. گسل‌های مهم اطراف ساختگاه در شعاع ۱۵۰ کیلومتری حرم حضرت رضا(ع).

| نام گسل      | طول (کیلومتر) | فاصله (کیلومتر) |
|--------------|---------------|-----------------|
| جنوب چنانرا  | ۱۳۸           | ۴,۶             |
| توس          | ۷۷            | ۷,۹             |
| جنوب مشهد    | ۱۵            | ۵,۱             |
| کشند         | ۱۷۵           | ۱۹,۵            |
| شاندیز       | ۱۰۱           | ۲۶,۳            |
| شمال بوستان  | ۷۱            | ۲۲,۲            |
| بوستان       | ۷۴            | ۲۴              |
| شمال بوستان  | ۲۳,۶          | ۱۵,۹            |
| بیتلود       | ۱۰۲,۴         | ۳۰              |
| امرو다ک       | ۵۸,۵          | ۳۹,۷            |
| تریت جام     | ۱۰۸,۲         | ۴۹,۲            |
| موشان        | ۶۰,۳          | ۴۲,۳            |
| شمال نیشابور | ۸۱,۷          | ۵۰,۱            |
| کپه‌داغ      | ۳۱۸           | ۸۳,۲            |
| شمال نیشابور | ۳۲,۶          | ۴۳,۷            |
| شمال نیشابور | ۱۸,۱          | ۴۱,۳            |
| نیشابور      | ۶۸,۶          | ۶۷,۹            |
| درونه        | ۳۰۵           | ۱۱۷             |
| شمال برف‌ریز | ۱۷,۳          | ۵۱,۲            |
| بالهر        | ۱۳۵,۹         | ۹۹,۸            |
| کالشور       | ۲۲,۸          | ۵۶,۳            |
| ریوند        | ۶۵,۴          | ۱۱۳,۵           |
| منیسک        | ۳۲,۲          | ۹۵              |
| بیجوارد      | ۷۷,۵          | ۱۲۸,۳           |
| کاشمر        | ۸۴            | ۱۳۵,۲۵          |
| شاه‌تونک     | ۲۸,۵          | ۱۰۵             |
| داغ‌آباد     | ۵۲,۳          | ۱۳۲,۲           |

#### ۱.۴. حذف پس لرزه و پیش لرزه‌ها

چنان‌که اشاره شد، فرض اساسی در برآورد پارامترهای لرزه‌خیزی این است که رویداد زمین‌لرزه‌ها مستقل از یکدیگر باشند. بنابراین حذف پیش لرزه‌ها و پس لرزه‌ها برای هر یک از زمین‌لرزه‌های اصلی از فهرست رویداد زمین‌لرزه‌ها ضروری است. متداول ترین روش در حذف پیش لرزه‌ها و پس لرزه‌ها در نظر گرفتن پنجره‌های زمانی و مکانی برای رویداد پیش لرزه‌ها و پس لرزه‌ها با بزرگ‌ای معین است. در تحقیق حاضر این امر با بهکارگیری مدل جهانی گاردنر و نویوف<sup>[۱۶]</sup> انجام پذیرفت.

از آنجا که برخی از پژوهش‌گران داخلی با توجه به ماهیت زمین‌لرزه‌های ایران مدل‌های دیگری را نیز پیشنهاد می‌کنند، از مدلی که در گزارش تحلیل لرزه‌ی زمین ساخت سد دوستی<sup>[۱۷]</sup> ارائه شده نیز استفاده شد، و نتایج مقایسه‌ی آن نیز در جدول ۳ ارائه شده است. با توجه به اختلاف کم نتایج حاصل از بهکارگیری دو روش فوق برای حذف پیش لرزه‌ها و پس لرزه‌ها، در ادامه‌ی پژوهش از مدل گاردنر و نویوف استفاده شد.

#### ۲.۴. برآورد پارامترهای لرزه‌خیزی

##### ۱.۲.۴. روش کیکو<sup>[۱۸]</sup>

در این مطالعه از نرم افزار کیکو<sup>[۱۹]</sup> برای برآورد پارامترهای لرزه‌خیزی استفاده شد. در این روش - که برای نقاطی مانند ایران که داده‌های زلزله‌ای کم و با دقت نامناسب دارند، بهترین و کامل‌ترین روش است - با دسته‌بندی اطلاعات به سه دوره‌ی تاریخی، دستگاهی نادقيق، و دستگاهی نسبتاً دقیق و نیز با در نظر گرفتن عدم قطعیت داده‌ها در هر دوره‌ی زمانی، پارامترهای لرزه‌خیزی محاسبه می‌شوند. در جدول ۴ پارامترهای لرزه‌خیزی محاسبه شده به روش کیکو در دو شعاع ۱۵۰ و ۲۰۰ کیلومتری ارائه شده است. همچنین درصد مشارکت قسمت‌های مختلف فایل‌های کیکو در تعیین پارامترهای لرزه‌خیزی در جدول ۵ ارائه شده است.

جدول ۳. مقایسه‌ی پارامترهای لرزه‌خیزی حاصل از روش کیکو<sup>[۱۸]</sup> براساس پنجره‌های مختلف زمانی و مکانی.

| مدل حذف پیش لرزه و پس لرزه | $\beta$ | $\lambda_{M_s=+}$ | درصد اختلاف $\beta$ | درصد اختلاف $\lambda$ |
|----------------------------|---------|-------------------|---------------------|-----------------------|
| گزارش تحلیل خطر سد دوستی   | ۱,۷۷۷   | ۸,۴۶              | ۰,۰۵                | ۱۲                    |
| Gardner and Knopoff        | ۱,۷۷۶   | ۹,۷۳              |                     |                       |

گاهی رابطه‌ی گوتبرگ ریشترب به صورت  $\ln \lambda = \alpha - \beta M$  نیز بیان می‌شود که در این صورت:

$$\lambda = \frac{N}{t} \quad \alpha = a \ln ۱۰ \quad \beta = b \ln ۱۰ \quad (1)$$

فرضیات رابطه‌ی گوتبرگ ریشترب عبارت‌اند از: همگن بودن لرزه‌خیزی گستره‌ی مورد نظر، استقلال رویدادها در حوزه‌ی زمان و مکان، ثابت بودن توزیع بزرگ‌ای در حوزه‌ی زمان. بنابراین بهمنظور بی‌بردن به سرنوشت لرزه‌خیزی گستره‌ی گستره‌ی مطالعه، برآورد پارامترهای لرزه‌خیزی  $\beta$  و  $\lambda$  ضروری است. در این راستا ابتدا زمین‌لرزه‌های گذشته‌ی

جدول ۶. پارامترهای لرزه خیزی ایالت کپه داغ.<sup>[۲۰]</sup>

| $M_{max}$ | $\lambda_{(M=۳,۰)}$ | $\beta$   |
|-----------|---------------------|-----------|
| ۷,۷۱±۰,۵۸ | ۶,۵۹±۱,۰۴           | ۱,۵۲±۰,۰۸ |

مرز شمال شرقی فلات ایران را تشکیل می‌دهد. کپه داغ بر روی حاشیه‌ی جنوب غربی پوسته‌ی قاره‌ی ترکمنستان قرار دارد. در حدود ۱۰ کیلومتر نهشته‌های رسوی متعلق به موزوئیک و ترشیری در کپه داغ وجود دارد که در یک حوضه‌ی رسوی فرونشستی - که خود در خلال فاز کششی موزوئیک تشکیل شده است - نهشته و در آخرین فاز کوه‌زایی آلبی دچار چین خوردگی شده‌اند. فرونشست کشف‌رود، کوه‌های کپه داغ (در شمال) را از کوه‌های بیتلارود (در جنوب) جدا می‌کند. پارامترهای لرزه خیزی محاسبه شده برای ایالت کپه داغ<sup>[۲۰]</sup> در جدول ۶ نشان داده شده است.

## ۵. برآورد بزرگی زلزله

برای تعیین و برآورد بزرگی زلزله دو روش قطعی و احتمالاتی وجود دارد.

### ۱. روش قطعی

در این روش بیشینه‌ی بزرگی زمین لرزه براساس روابط تجربی موجود که بر طول گسل فعال منطقه مبتنی است، محاسبه می‌شود. در این پژوهش از رابطه‌ی  $Ms = 1,259 + 1,244 \log(L)$  استفاده شده<sup>[۲۱]</sup> که در آن  $L$  طول محتمل گسیختگی گسل بحسب متراست. با توجه به مطالب شرح داده شده بزرگی زلزله محتمل به روش قطعی در سایت پژوهه تعیین، و نتایج آن در جدول ۷ ارائه شده است.

### ۲. روش احتمالاتی

در این روش با در نظر گرفتن نظریه‌ی احتمالات، بزرگی احتمال رویداد زلزله‌ها و

جدول ۷. بزرگای زلزله‌ی محتمل به روش قطعی.

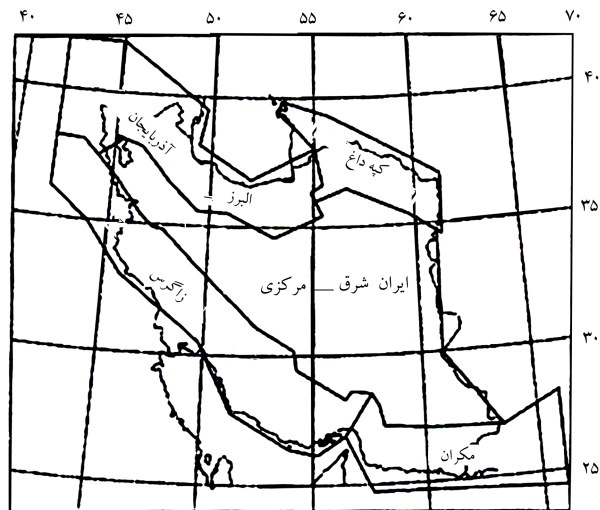
| نام گسل     | طول(کیلومتر) | حداکثر بزرگای زلزله(Ms) |
|-------------|--------------|-------------------------|
| کپه داغ     | ۳۱۸,۰۵۳      | ۷,۷                     |
| درونه       | ۳۰۵,۱۵۱      | ۷,۷                     |
| زون ۳       | ۲۵۲          | ۷,۶                     |
| کشفرود      | ۱۷۵,۶۶۱      | ۷,۴                     |
| جنوب چهاران | ۱۳۷,۷۸۳      | ۷,۳                     |
| بالهر       | ۱۳۵,۹۰۱      | ۷,۳                     |
| زون ۴       | ۱۵۷,۰۹       | ۷,۳                     |
| درونه       | ۱۲۴,۰۶۷      | ۷,۲                     |
| سرخنده      | ۱۰۰,۸۲       | ۷,۱                     |
| بیتلارود    | ۱۰۲,۴۵       | ۷,۱                     |
| تربت جام ۳  | ۱۰۸,۲۲۱      | ۷,۱                     |
| تونس        | ۷۷,۳۳۷       | ۷                       |

جدول ۴. پارامترهای لرزه خیزی محاسبه شده توسط روش کیکو.

| شعاع مطالعاتی | $\lambda_{M_s=۴}$ | b    | $\beta$ |      |
|---------------|-------------------|------|---------|------|
| ۱۵° کیلومتری  | ۳,۱۳              | ۰,۸۳ | ۱,۹۲    | ۷,۶۶ |
| ۲۰° کیلومتری  | ۰,۷۹              | ۰,۷۹ | ۱,۸۴    | ۷,۶۲ |

جدول ۵. درصد مشارکت داده‌های دوره‌های مختلف زمانی در برآورد پارامترهای لرزه خیزی با شعاع‌های مختلف مطالعاتی.

| شعاع مطالعاتی | پارامتر لرزه خیزی | درصد مشارکت داده‌های بازه‌ی زمانی |           |           |
|---------------|-------------------|-----------------------------------|-----------|-----------|
|               |                   | ۱۹۶۴-۲۰۰۴                         | ۱۹۶۴-۲۰۰۴ | ۱۹۶۴-۲۰۰۴ |
| ۱۵°           | $\beta$           | ۵۸,۸                              | ۱۴,۸      | ۲۶,۴      |
|               | $\lambda$         | ۶,۷                               | ۲۴,۵      | ۶۸,۸      |
| ۲۰°           | $\beta$           | ۶۱,۱                              | ۱۵,۲      | ۲۳,۷      |
|               | $\lambda$         | ۵                                 | ۳۳        | ۶۲        |



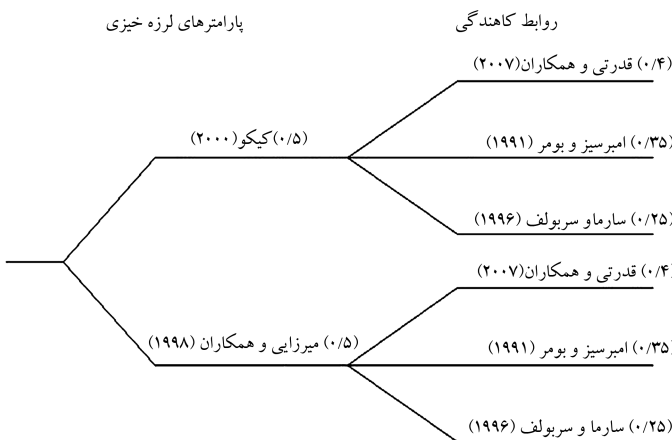
شکل ۱. ایالت‌های اصلی لرزه زمین ساختی ایران.<sup>[۲۰]</sup>

### ۲.۲.۴. ایالت‌های لرزه خیزی

ایالت لرزه زمین ساختی پهنه‌یی است که تحت رژیم‌های ژئودینامیکی کنونی، دارای جایگاه تکتونیکی همانند و الگوی لرزه خیزی یکسان باشد. با توجه به این مفهوم، محققین داخلی ایران را به پنج ایالت لرزه زمین ساختی عمدۀ: ۱. البرز و آذربایجان؛ ۲. کپه داغ؛ ۳. زاگرس؛ ۴. ایران مرکزی و شرق ایران؛ ۵. مکران تقسیم کرده‌اند.<sup>[۲۰]</sup>

از آنجا که در محاسبه‌ی ایالت‌های لرزه خیزی به پارامترهای زمین ساختی و لرزه زمین ساختی توجه پیشتری داشته‌اند، تقسیم‌بندی صورت‌گرفته در این پژوهش به عنوان مکمل نتایج به دست آمده در بخش قبلی، مورد استفاده قرار گرفت. این تقسیم‌بندی در شکل ۱ نشان داده شده و از آنجا که گستره‌ی موردنی مطالعه در این پژوهش در ایالت لرزه زمین ساخت کپه داغ قرار می‌گیرد، خصوصیات عمدۀ این ایالت به اختصار در زیر بیان می‌شود:

نوار چین خورد کپه داغ بخشی از کمر بند کوه‌زایی آلب - هیمالیا در غرب آسیا است که



شکل ۴. نمایش درخت منطقی استفاده شده.

مقادیر ضرایب درخت منطقی براساس مطالعات فوق چنان انتخاب شده که وزن بیشتری را به رابطه‌ی کاهنده‌گی ایران، و در مرحله‌ی بعد به رابطه‌ی کاهنده‌گی منطقه‌یی و در نهایت به رابطه‌ی کاهنده‌گی جهانی اختصاص دهد.

## ۷. تعیین شتاب لرزه‌ی زمین در ساختگاه

در این قسمت پارامترهای جنبش زمین که شتاب افقی و قائم جنبش زمین از مهم‌ترین آنهاست، محاسبه می‌شود. برای برآورده این پارامترها، نظری تعیین بزرگ، دو روش قطعی و احتمالاتی وجود دارد.<sup>[۲۷, ۲۶]</sup>

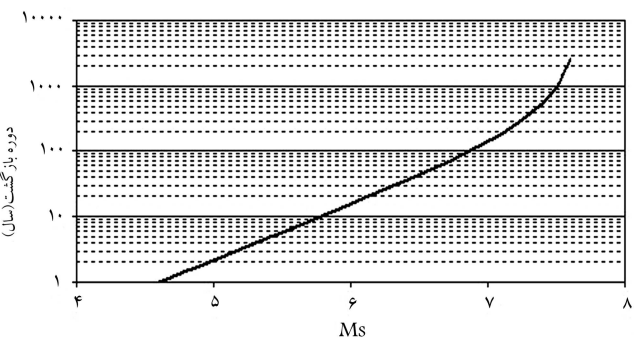
### ۷.۱. روش قطعی (DSHA)

در روش قطعی این‌ی ملاک قرار می‌گیرد و اقتصاد در نظر گرفته نمی‌شود. همچنین حداکثر شتاب زلزله‌یی که امکان وقوع دارد محاسبه می‌شود و احتملات در آن در نظر گرفته نمی‌شود. با در نظر گرفتن روابط کاهنده‌گی مناسب بیشینه شتاب افقی و قائم حاصل در سایت ناشی از زلزله‌یی رخداده توسط هرگسل محاسبه می‌شود. در جدول ۸ شتاب بیشینه‌ی حاصل از چندگسل اصلی به ترتیب بزرگ به کوچک ارائه شده است.

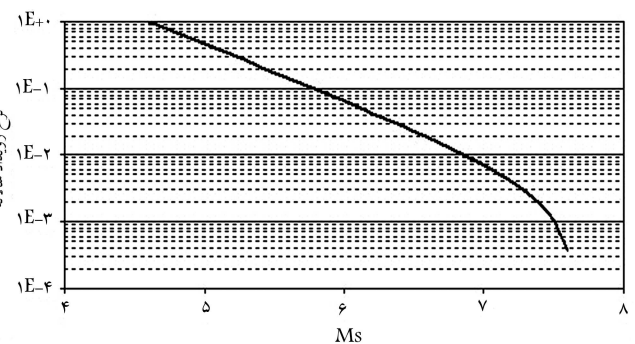
### ۷.۲. روش احتمالاتی (PSHA)

در روش احتمالاتی ضمن در نظر گرفتن این‌ی، مسئله‌ی اقتصاد نیز در نظر گرفته می‌شود و با مدل سازی سرچشم‌های لرزه‌زای گستره‌ی مورد مطالعه، و نظریه‌ی احتمالات بازاری هردصدی ازرسیک وقوع زلزله، بیشینه‌ی شتاب (PGA) محاسبه شود. برای مدل سازی و تعیین بیشینه‌ی شتاب از نرم افزار SEISERIKIII استفاده شده است<sup>[۲۸]</sup> و برای حصول نتیجه‌ی منطقی تر با انتخاب چند رابطه‌ی کاهنده‌گی مناسب و استفاده از روش تحلیل درخت منطقی، میانگین وزنی شتاب‌ها محاسبه می‌شود.

با توجه به مطالعه ارائه شده و شبکه‌بندی ناحیه‌ی اطراف ساختگاه به ابعاد شبکه حدود ۵۰۰ متر و در نظر گرفتن ناحیه‌یی به مساحت تقریبی ۳۰ کیلومتر مربع و محاسبه‌ی شتاب در نقاط مختلف، نقشه‌ی هم‌شتاب در دو سطح خطر ۱۰ درصد احتمال وقوع در ۵۰ سال و ۲ درصد احتمال وقوع در ۵۰ سال محاسبه شد. (اشارک ۵ تا ۸) همچنین برای برخی از پژوهه‌های حریم حرم به علت طول عمر بیشتری که



شکل ۲. بزرگا و دوره‌ی بازگشت محاسبه شده به روش کیکو.



شکل ۳. نرخ رویداد بزرگ‌های مختلف محاسبه شده به روش کیکو.

دوره‌ی بازگشت آنها در گستره‌ی شعاعی ۱۵۰ کیلومتر محاسبه شده است. بدین‌منظور از نرم افزار کیکو استفاده شد و نتایج آن در شکل‌های ۲ و ۳ ارائه شده است.

## ۶. انتخاب روابط کاهنده‌گی

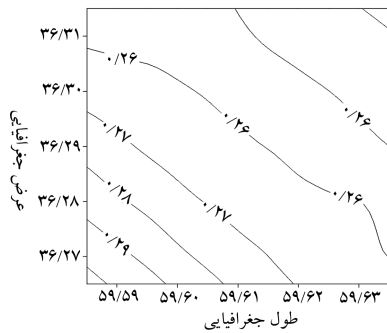
یکی از موارد اساسی در تعیین پارامترهای لرزش زمین، انتخاب روابط کاهنده‌گی است که مستقیم به نوع سازوکار زلزله (نحوه‌ی گسیختگی گسل)، نوع خاک منطقه، نوع بافت سنگ‌ها، عمق کانونی و نوع مؤلفه‌ی شتاب انتخابی دارد.

برای حصول نتیجه‌ی منطقی تر با انتخاب چند رابطه‌ی کاهنده‌گی مناسب و استفاده از روش تحلیل درخت منطقی، میانگین وزنی شتاب‌ها محاسبه می‌شود. پارامتر مهم در انتخاب وزن روابط فوق، میزان تطابق آن با شرایط ساختگاه مطالعه و چگونگی محاسبه‌ی آنها و داشتن تطابق بهتر با منطقه‌ی مورد نظر است.<sup>[۲۹]</sup> در این پژوهش سه نوع رابطه‌ی کاهنده‌گی<sup>[۲۰, ۲۱]</sup> انتخاب شدند به‌گونه‌یی که با منطقه‌ی مورد نظر سنتیت داشته باشند. رابطه‌ی اول برای ایران، رابطه‌ی دوم برای خاورمیانه و رابطه‌ی سوم برای کلیه نقاط جهان مناسب بوده است. در شکل ۴ مقادیر ضریب هر کدام از این روابط در درخت منطقی ارائه شده است.

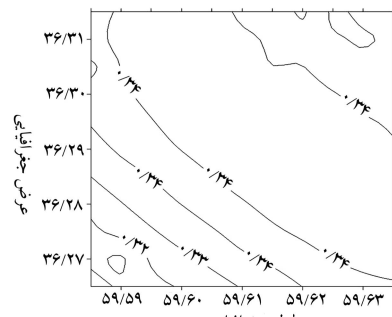
دلیل استفاده از روش درخت منطقی درموردن دلیل روابط کاهنده‌گی این است که روابطی که از داده‌های ایران استفاده کرده‌اند به دلیل عدم دقت داده‌ها چندان قابل اطمینان نیستند. از سوی دیگر، برای تهیه‌ی مدل‌های روابط منطقی‌ی و جهانی نیز که در مقایسه با روابط ایران از دقت خوبی برخوردارند، از داده‌های کشورهای مختلفی استفاده شده است. در نتیجه بهترین راه حل استفاده‌ی هم‌زمان این روابط کاهنده‌گی که هر یک به نوعی کمیود دیگری را پوشش می‌دهد، استفاده از روش درخت منطقی است.

جدول ۸. حداکثر شتاب افقی و قائم در ساختگاه به روش قطعی.

| نام گسل     | طول (کیلومتر) | فاصله (کیلومتر) | حداکثر بزرگا (Ms) | PGA <sub>H</sub> (g)  |                        |                         |              | PGA <sub>V</sub> (g)  |                        |              |  |
|-------------|---------------|-----------------|-------------------|-----------------------|------------------------|-------------------------|--------------|-----------------------|------------------------|--------------|--|
|             |               |                 |                   | امبرسیز و بومر (۱۹۹۱) | قدرته و همکاران (۲۰۰۷) | سامارما و سربولف (۱۹۹۶) | میانگین وزنی | امبرسیز و بومر (۱۹۹۱) | قدرته و همکاران (۲۰۰۷) | میانگین وزنی |  |
| جنوب چهاران | ۱۳۸           | ۴,۶             | ۷/۳               | ۰,۵۸۴                 | ۰,۶۱۲                  | ۰,۶۶۷                   | ۰,۶۱۶        | ۰,۲۹۰                 | ۰,۳۰۷                  | ۰,۳۰۰        |  |
| توس         | ۷۷            | ۷,۹             | ۷                 | ۰,۳۷۶                 | ۰,۴۴۱                  | ۰,۴۳۴                   | ۰,۴۱۷        | ۰,۱۸۸                 | ۰,۲۱۹                  | ۰,۲۰۷        |  |
| جنوب مشهد   | ۱۵            | ۵,۱             | ۶,۱               | ۰,۲۸۹                 | ۰,۲۸۴                  | ۰,۳۲۷                   | ۰,۲۹۶        | ۰,۱۴۷                 | ۰,۱۴۰                  | ۰,۱۴۳        |  |
| کشفرود      | ۱۷۵           | ۱۹,۵            | ۷,۴               | ۰,۲۲۴                 | ۰,۳۳۵                  | ۰,۳۰۷                   | ۰,۲۸۹        | ۰,۱۱۲                 | ۰,۱۶۴                  | ۰,۱۴۴        |  |
| شاندیز      | ۷۹            | ۱۵,۲            | ۷                 | ۰,۲۲۵                 | ۰,۳۱۱                  | ۰,۲۹۲                   | ۰,۲۷۶        | ۰,۱۱۳                 | ۰,۱۵۳                  | ۰,۱۳۷        |  |



شکل ۸. نقشه هم‌شتاب شتاب قائم در سطح خطر ۲ درصد احتمال وقوع در ۵۰ سال (برحسب g).



شکل ۵. نقشه هم‌شتاب شتاب افقی در سطح خطر ۱۰ درصد احتمال وقوع در ۵۰ سال (برحسب g).

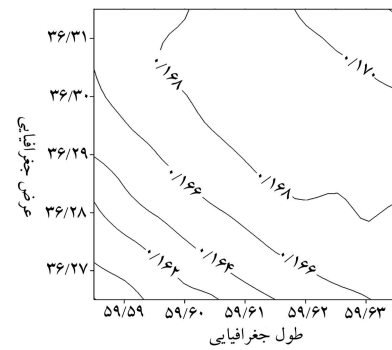
دارند نتایج سطح خطر ۱۰ درصد احتمال وقوع در ۱۰۰ سال عمر مفید که معادل زلزله‌ی با دوره بازگشت ۹۵۰ سال است، ارائه شده است.

## ۸. نتیجه‌گیری

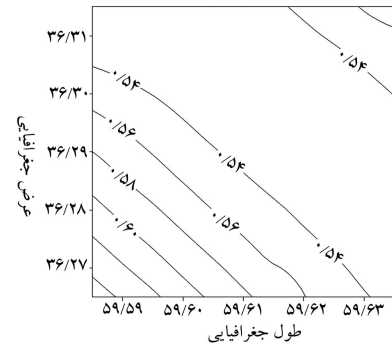
با توجه به نتایج حاصله برای ساختگاه حرم مطهر امام رضا (ع) که به طور خلاصه در جدول ۹ ارائه شده است، می‌توان نتیجه گرفت که شهر مشهد را باید در رده‌ی شهرهای با خطر بسیار بالای زلزله در طبقه‌بندی استاندارد ۲۸۰۰ - ویرایش سوم - در نظر گرفت. همچنین به منظور مقاوم‌سازی اینهی قدمی و طراحی بر اساس عملکرد، کارفرما می‌تواند به تناسب اهمیت ساختمان تصمیم به اتخاذ عملکرد لازم برای سطح خطر مورد نیاز پذیرد. لذا مطمئناً برای ساختمنهای مهم سطح عملکرد بالا برای سطح خطر زیاد می‌تواند منطقی باشد.

جدول ۹. خلاصه نتایج به دست آمده در ساختگاه حرم.

| PGA <sub>V</sub> (g) | PGA <sub>H</sub> (g) | دوره بازگشت (سال) | سطح خطر                        |
|----------------------|----------------------|-------------------|--------------------------------|
| ۰,۱۶۸                | ۰,۳۴۳                | ۴۷۵               | ۱۰ درصد احتمال وقوع در ۵۰ سال  |
| ۰,۲۲۴                | ۰,۴۵۸                | ۹۵۰               | ۱۰ درصد احتمال وقوع در ۱۰۰ سال |
| ۰,۲۶۱                | ۰,۵۳۵                | ۲۴۷۵              | ۲ درصد احتمال وقوع در ۵۰ سال   |



شکل ۶. نقشه هم‌شتاب شتاب قائم در سطح خطر ۱۰ درصد احتمال وقوع در ۵۰ سال (برحسب g).



شکل ۷. نقشه هم‌شتاب افقی در سطح خطر ۲ درصد احتمال وقوع در ۵۰ سال (برحسب g).

## منابع

1. Berberian, M., Ghorashi, M., Shoja-Tabheri, J. & Talebian, M., *Contribution to the seismotectonics of Iran (part VIII): seismotectonic and earthquake-fault hazard investigation in the Mashad-Neyshabur region*, Geological Survey of Iran (2000).
2. Building & Housing Research Center (BHRC), *Iranian Code of Practice for Seismic Resistant Design of Buildings, Standard (2800), Third Revision*, Iran (2005).
3. International Institute of Earthquake Engineering and Seismology (IIEES), *Seismic Rehabilitation Code for Existing Buildings in Iran*, Iran (2002).
4. International Institute of Earthquake Engineering and Seismology (IIEES), *Comments on Seismic Rehabilitation Code for Existing Buildings in Iran*, Iran (2002).
5. International Institute of Earthquake Engineering and Seismology (IIEES), <http://www.iiees.ac.ir>
6. Building and Housing Research Center (BHRC), <http://www.bhrc.ir>
7. Ambraseys, N.N., and Melville, C.P. *A History of Persian Earthquakes*, Cambridge University Press, Cambridge, Britain, (1982).
8. Berberian, M. *Natural Hazards & the First Earthquake Catalogue of Iran*, 1: Historical Hazards in Iran Prior to 1900, International Institute of Earthquake Engineering and Seismology, (IIEES), (1994).
9. US Geological Survey (USGS), <http://www.usgs.gov>
10. Maggii, A.; Priestley, K., and Jackson, J.A., "Focal depths of moderate and large size earthquakes in Iran", *Journal of Seismology and Earthquake Engineering* 4 pp.1-10 (2& 3), (2002).
11. Ghodrati Amiri, G.; Motamed, R., and Rabet Es-haghi, H. "Seismic hazard assessment of metropolitan Tehran, Iran", *Journal of Earthquake Engineering*, 7(3), pp. 347-372 (2003).
12. Hesami, K., Jamali, F. and Tabassi, H., Active fault map of Iran, International Institute of Earthquake Engineering and Seismology (IIEES), Tehran, Iran (2003).
13. Gutenberg, B., and Richter, C.F. *Seismicity of the Earth and Associated Phenomena*, Princeton University Press, New Jersey, (1954).
14. Gutenberg, B., and Richter, C.F. "Earthquake magnitude, intensity, energy and acceleration", *Bulletin of the Seismological Society of America*, 46(2), pp. 105-145 (1956).
15. IRCOLD, Iranian Committee of Large Dams, Relationship between  $M_S$  and  $m_b$ , Internal Report,(1994) (In Persian).
16. Gardner, J.K., and Knopoff, L. "Is the sequence of earthquake in southern California, with aftershocks removed, Poissonian?" *Bulletin of the Seismological Society of America*, 64(5), pp. 1363-1367 (1974).
17. Toos Ab Consulting Engineering Company, *Seismic Hazard Analysis Report of Doosti Dam*, Iran (1999).
18. Kijko, A. *Statistical estimation of maximum regional earthquake magnitude  $M_{max}$* , Workshop of Seismicity Modeling in Seismic Hazard Mapping, Polje, Slovenia, Geological Survey, 1-10 (2000).
19. Council for Geoscience, Geological Survey of South Africa, HN2 Program, Release 2.08., (2001). (<http://www.geoscience.org.za/seismo>)
20. Mirzaei, N.; Gao, M., and Chen, Y.T., Seismicity in major seismotectonic provinces of Iran, *Earthquake Research in China* 11, 351-361 (1997).
21. Nowroozi, A. "Empirical relations between magnitude and fault parameters for earthquakes in Iran", *Bulletin of the Seismological Society of America*, 75(5), pp. 1327-1338 (1985).
22. Douglas, J. "Earthquake ground motion estimation using strong-motion records: a review of equations for the estimation of peak ground acceleration and response spectral ordinates", *Earth-Science Reviews* 61(1-2), 43-104 (2003).
23. Ghodrati Amiri, G.; Mahdavian, A., and Manouchehri Dana, F. "Attenuation relationships for Iran", *Journal of Earthquake Engineering*, 11(4), pp. 469-492 (2007).
24. Ambraseys, N.N., and Bommer, J.J. "The attenuation of ground accelerations in Europe", *Earthquake Engineering and Structural Dynamics*, 20, pp. 1179-1202 (1991).
25. Sarma, S.K., and Srbulov, M. "A simplified method for prediction of kinematic soil-foundation interaction effects on peak horizontal acceleration of a rigid foundation", *Earthquake Engineering and Structural Dynamics*, 25, pp. 815-836 (1996).
26. Cornell, C. A., Engineering seismic risk analysis, *Bulletin of the Seismological Society of America* 58 (5), 1583-1606 (1968).
27. Green, A. R., and Hall, W. J., An Overview of Selected Seismic Hazard Analysis Methodologies, A Report on a Research Project, Department of Civil Engineering, University of Illinois at Urbana-Champaign (1994).
28. Bender, B., and Perkins, D.M., SEISRISKIII: A computer program for seismic hazard estimation, U.S. Geological Survey, Bulletin 1772 (1987).

